

Механическое интерпретирование (2, 3, 5, 8)-задачи.

Рисунок

1. Управляемое движение в $(2, 3, 5, 8)$ -задаче, граничные условия.
2. Область $D \subset \mathbb{R}^2$, определяемая границами ∂D .
Интерполяция x_3, \dots, x_8 по ∂D^\pm .
3. Стартовое значение граничных условий $x(T)$ в торки зеркальные механик.
4. Некоторые сведения о задаче и ее решении.
5. Правильное представление измерений.
6. График.
7. mathematica

1. Уравнение состояния

$$\dot{x}_1 = u_1$$

$$\dot{x}_2 = u_2$$

$$\dot{x}_3 = -\frac{x_2}{2} u_1 + \frac{x_1}{2} u_2$$

$$\dot{x}_4 = \frac{1}{2} (x_1^2 + x_2^2) u_2$$

$$\dot{x}_5 = -\frac{1}{2} (x_1^2 + x_2^2) u_1$$

$$\dot{x}_6 = \frac{x_1}{6} u_2$$

$$\dot{x}_7 = -\frac{x_1 x_2^2}{4} u_1 + \frac{x_1^2 x_2}{4} u_2$$

$$\dot{x}_8 = -\frac{x_2}{6} u_1$$

(1)

Границные условия
 $x(0) = 0, \quad x(T) = x^*$.

(2)

2. Область Ω и граница $\partial\Omega$.

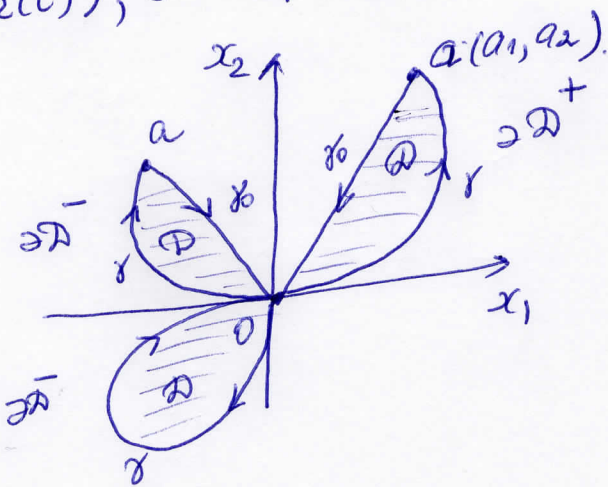
Рассмотрим такие решения $x(t)$ систем (1), (2), проекции которых на \mathbb{R}^2 простые (без самопересечений, кроме 0) замкнутые контуры, ограниченные областю Ω , ибо вдоль границы $\partial\Omega$ соединяющий $(x_1(T), x_2(T))$ и $O(0,0)$ отрезок простой контура, ограниченный $x_1(T)$ и $x_2(T)$, образует простой контур, ограниченный $\partial\Omega$.

Область Ω — простой контур, $\partial\Omega = \gamma_1 \cup \gamma_0$.
 Итак, $\partial\Omega$ — простой контур, $\partial\Omega = \gamma_0 \cup \gamma$ осуществлется прям. в.с., если обход $\partial\Omega = \gamma_0 \cup \gamma$ осуществляется против час. стрелки, т. е. $\partial\Omega^+$, если же ~~против~~ по часовой стрелке, то обход $\partial\Omega^-$.

$$x_1(T) = a_1, \quad x_2(T) = a_2, \quad -3-$$

$$\gamma_0 = \{(a_1(1-t), a_2(1-t)), t \in [0, 1]\},$$

$$\gamma = \{(x_1(t), x_2(t)), t \in [0, T]\}.$$



3. интегрирование уравнения
условия ① по контуру ∂D^\pm .
Заметим, что все $\dot{x}_i, i=3, \dots, 8$, выражаются
через $x_1(t), x_2(t), \dot{x}_1(t), \dot{x}_2(t)$.

$$1). \oint_{\partial D^\pm} dx_3 = \frac{1}{2} \oint_{\partial D^\pm} -x_2 dx_1 + x_1 dx_2 = \text{op. f.p.} = \pm \iint_D dx_1 dx_2;$$

$$\text{с гр. условия}$$

$$\oint_{\partial D^\pm} dx_3 = \int_D dx_3 + \int_{\gamma_0} dx_3 = x_3(T) + 0;$$

$$\oint_{\partial D^\pm} dx_3 = \int_D dx_3 + \int_{\gamma_0} dx_3 = x_3(T) + 0;$$

$$2). \oint_{\partial D^\pm} dx_4 = \frac{1}{2} \oint_{\partial D^\pm} (x_1^2 + x_2^2) dx_2 = \text{op. f.p.} = \pm \iint_D x_1 dx_1 dx_2$$

$$\text{с гр. условия}$$

$$\oint_{\partial D^\pm} dx_4 = \int_D dx_4 + \int_{\gamma_0} dx_4 = x_4(T) - \frac{1}{6} a_2 (a_1^2 + a_2^2).$$

$$3) \oint_{\partial D} dx_5 = -\frac{1}{2} \oint_{\partial D}^+ (x_1^2 + x_2^2) dx_1 = q.p. \bar{I}_P = \pm \iint_D x_2 dx_1 dx_2.$$

$$\text{C g.p. coop. } \oint_{\partial D} dx_5 = \int_{y_0}^y dx_5 + \int_{y_0}^y dx_5 = x_5(T) + \frac{1}{6} a_1 (a_1^2 + a_2^2)$$

$$\oint_{\partial D}^{\pm} dx_5 = \int_{y_0}^y dx_5 + \int_{y_0}^y dx_5 = x_5(T) + \frac{1}{6} a_1 (a_1^2 + a_2^2)$$

$$4) \oint_{\partial D}^{\pm} dx_6 = \frac{1}{6} \oint_{\partial D}^{\pm} x_1^3 dx_2 = q.p. \bar{I}_P = \pm \frac{1}{2} \iint_D x_1^2 dx_1 dx_2$$

$$\text{C g.p. coop. } \oint_{\partial D} dx_6 = \int_{y_0}^y dx_6 + \int_{y_0}^y dx_6 = x_6(T) - \frac{1}{24} a_1^3 a_2.$$

$$\oint_{\partial D}^{\pm} dx_6 = \int_{y_0}^y dx_6 + \int_{y_0}^y dx_6 = x_6(T) - \frac{1}{24} a_1^3 a_2$$

$$5) \oint_{\partial D}^{\pm} dx_8 = -\frac{1}{6} \oint_{\partial D}^{\pm} x_2^3 dx_1 = q.p. \bar{I}_P = \pm \frac{1}{2} \iint_D x_2^2 dx_1 dx_2$$

$$\text{C g.p. coop. } \oint_{\partial D} dx_8 = \int_{y_0}^y dx_8 + \int_{y_0}^y dx_8 = x_8(T) + \frac{1}{24} a_1 a_2^3.$$

$$\oint_{\partial D}^{\pm} dx_8 = \int_{y_0}^y dx_8 + \int_{y_0}^y dx_8 = x_8(T) + \frac{1}{24} a_1 a_2^3$$

$$6) \oint_{\partial D}^{\pm} dx_7 = \frac{1}{4} \oint_{\partial D}^{\pm} -x_1 x_2^2 dx_1 + x_1^2 x_2 dx_2 = q.p. \bar{I}_P = \pm \iint_D x_1 x_2 dx_1 dx_2$$

$$\text{C g.p. coop. } \oint_{\partial D} dx_7 = \int_{y_0}^y dx_7 + \int_{y_0}^y dx_7 = x_7(T) + 0.$$

$$\oint_{\partial D}^{\pm} dx_7 = \int_{y_0}^y dx_7 + \int_{y_0}^y dx_7$$

$$1). x_3(T) = \pm \iint_{\Omega} dx_1 dx_2 = \pm S - \text{аэроф. неодногр. } \mathfrak{D}.$$

$$2). x_4(T) - \frac{1}{6} a_2 (a_1^2 + a_2^2) = \pm \iint_{\Omega} x_1 dx_1 dx_2 = \pm M_{x_2} - \text{статический момент } \mathfrak{D} \text{ относ. } Ox_2.$$

$$3). x_5(T) + \frac{1}{6} a_1 (a_1^2 + a_2^2) = \pm \iint_{\Omega} x_2 dx_1 dx_2 = \pm M_{x_1} - \text{--- } Ox_1.$$

$$4). x_6(T) - \frac{1}{24} a_1^3 a_2 = \pm \frac{1}{2} \iint_{\Omega} x_1^2 dx_1 dx_2 = \pm \frac{1}{2} I_{x_2} - \text{момент инерции относ. } Ox_2.$$

$$5). x_8(T) + \frac{1}{24} a_1 a_2^3 = \pm \frac{1}{2} \iint_{\Omega} x_2^2 dx_1 dx_2 = \pm \frac{1}{2} I_{x_1} - \text{--- } Ox_1.$$

$$6). x_7(T) = \pm \iint_{\Omega} x_1 x_2 dx_1 dx_2 = \pm K_{x_1, x_2} - \text{члены обобщенных моментов относ. } Ox_1, x_2 \\ / \text{аэроф. неодногр.}.$$

4. Синтез граничных условий $x(T)$
с точки зрения механики.

Механические характеристики пластина \mathfrak{D}
не зависят от направления обхода контура
и границы. Поэтому рассмотрим адси-
сторные величины 1) - 6) прил. n. 3.
Введен обозначения:

$$M_4 = \frac{1}{6} a_2 (a_1^2 + a_2^2),$$

$$M_5 = \frac{1}{6} a_1 (a_1^2 + a_2^2),$$

$$M_6 = \frac{1}{12} a_1^3 a_2,$$

$$M_8 = \frac{1}{12} a_1 a_2^3, \quad \text{где } a_1 = x_1(T), a_2 = x_2(T).$$

граничное значение $x(T)$ содержит следующую информацию о механических свойствах механизма \mathcal{D} :

$$x_3(T) = S \quad (1)$$

$$x_4(T) - M_4 = Mx_2 \quad (2)$$

$$x_5(T) + M_5 = Mx_1 \quad (3)$$

(3)

$$2x_6 - M_6 = Ix_2 \quad (4)$$

$$2x_8(T) + M_8 = Ix_1 \quad (5)$$

$$x_7(T) = Kx_1 x_2 \quad (6)$$

из (1), (2), (3) получим (3) \Rightarrow механизм \mathcal{D}

$$\text{запишем } \underline{\text{уравнение}} \text{ масс механизма } \mathcal{D} \\ c_1 = \frac{Mx_2}{S}, \quad c_2 = \frac{Mx_1}{S},$$

из (4), (5), (6) \Rightarrow запишем тезис уравнение механизма \mathcal{D} :

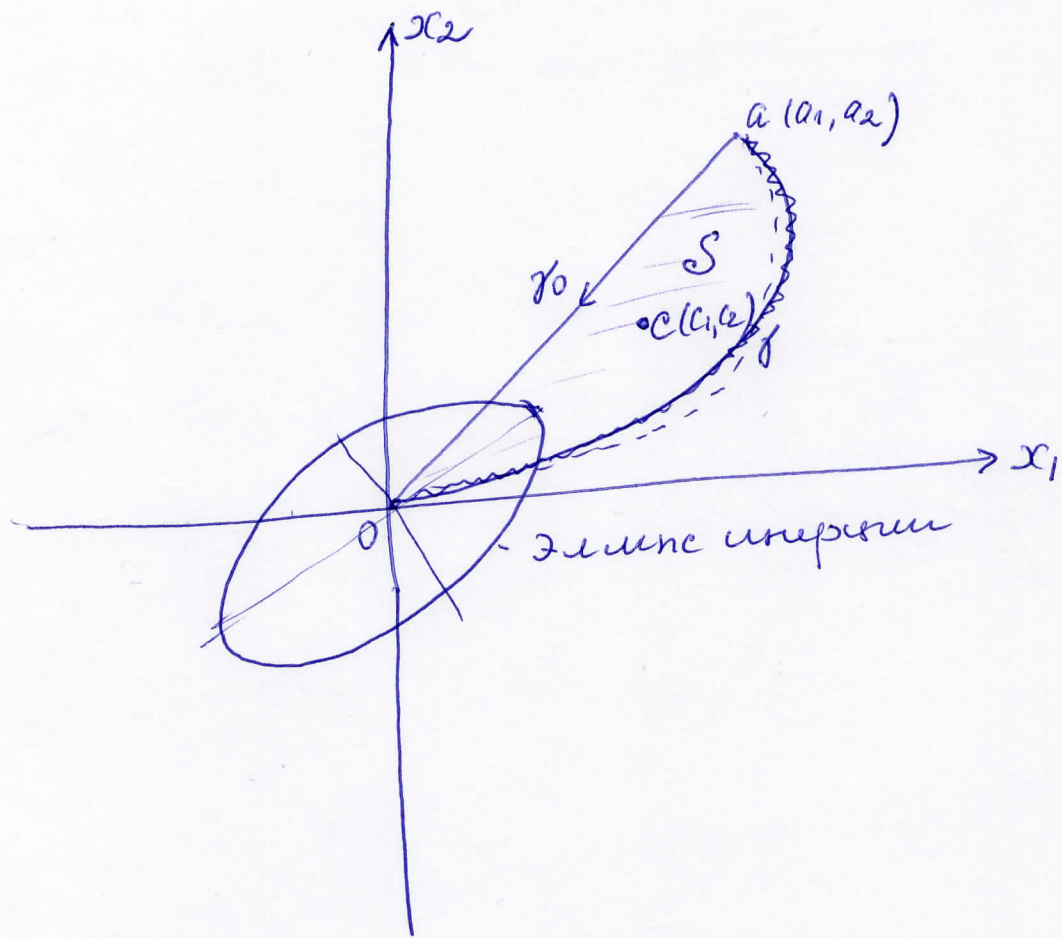
$$A = \begin{pmatrix} Ix_1 & -Kx_1 x_2 & 0 \\ -Kx_1 x_2 & Ix_2 & 0 \\ 0 & 0 & Ix_1 + Ix_2 \end{pmatrix}.$$



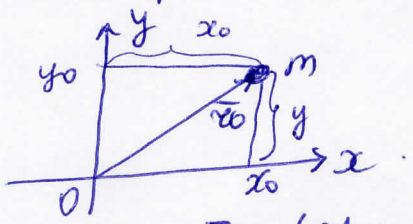
запишем единичные уравнения

$$Ix_1 w_1^2 - 2Kx_1 x_2 w_1 w_2 + Ix_2 w_2^2 = 1,$$

из $\bar{\omega} = (w_1, w_2, 0)$ - угловые скорости, не зависящие от времени.



5.1. Статика моментов материальных точек
1). статические моменты материальных точек
масса m , центр - вектор $\bar{r}_0(x_0, y_0)$:



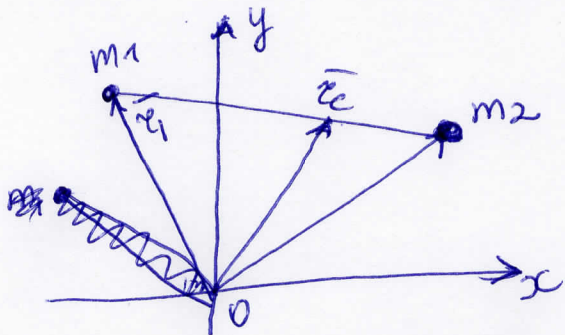
$$M_x = m \cdot y_0, \quad M_y = m \cdot x_0; \quad \bar{M} = (M_x, M_y) = \bar{r}_0 \cdot m.$$

5). смесь из 2-х материальных точек
 $(m_1, \bar{r}_1), (m_2, \bar{r}_2)$.

центр масс $\bar{r}_c = \frac{\bar{r}_1 m_1 + \bar{r}_2 m_2}{m_1 + m_2}$.

$$\frac{m_1}{m} + \frac{m_2}{m} = 1 \Rightarrow \frac{m_i}{m} - \text{барицентрические кооpf-ы}$$

точки \bar{r}_c .



$\bar{r}_c \in$ барийческий оболочка масс m_1 и m_2 .

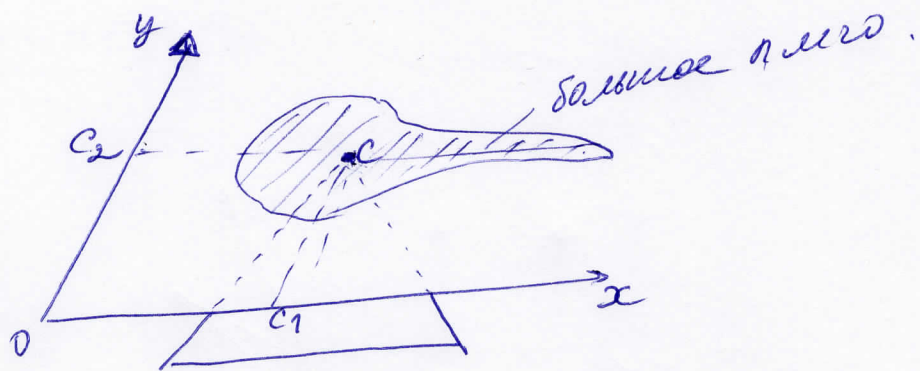
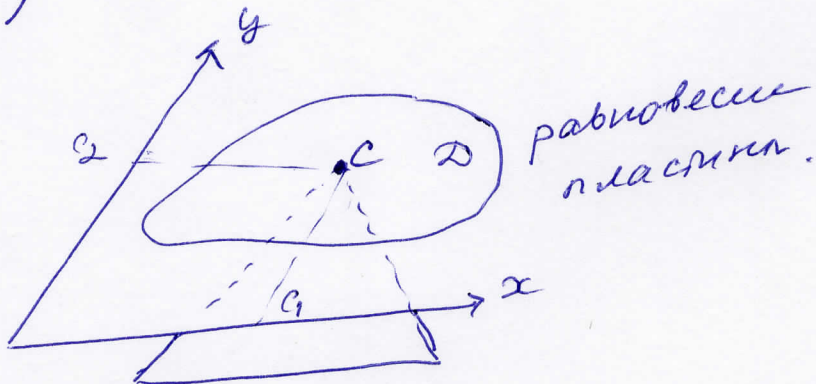
Пример:  $m_1 x_1 = m_2 x_2 \Rightarrow \bar{M}_1 + \bar{M}_2 = 0$

условие равновесия:

б). Ω — несимметрическое однопорядковое (нестоичкое $S(x, y) \neq 1$) .

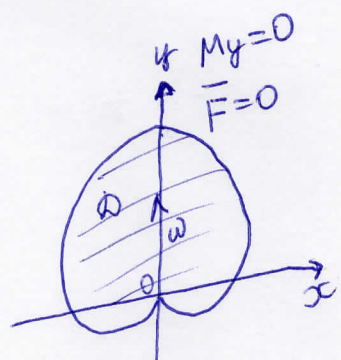
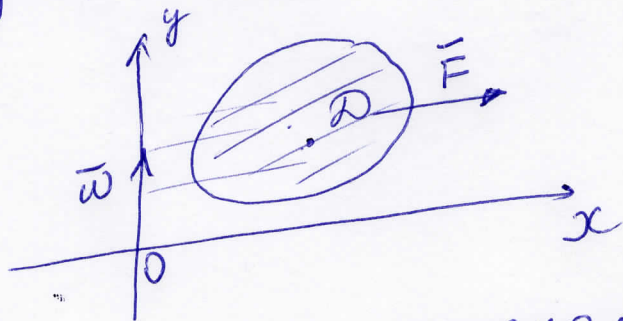
$$m = \iint_{\Omega} dx dy, M_x = \iint_{\Omega} y dx dy, M_y = \iint_{\Omega} x dx dy.$$

$$\bar{c}_c = \left(\frac{M_y}{m}, \frac{M_x}{m} \right) \in \Omega.$$



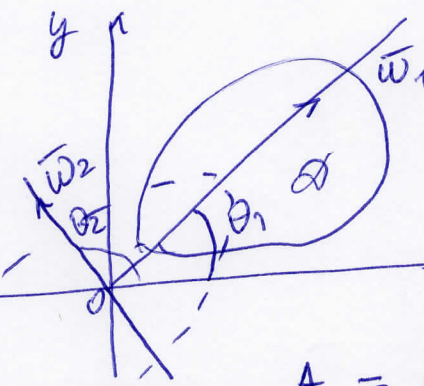
в). При вращении несимметрического пластина вокруг оси Oy возникает упругогенитальное сила,

$$\vec{F} = (M_y \omega^2, 0, 0)$$



пропорциональное статическому моменту M_y .

5.2. Кинематика
трансформации
движения гибкого



\rightarrow Тензор инерции

$$A := \begin{pmatrix} I_x & -K_{xy} & 0 \\ -K_{xy} & I_y & 0 \\ 0 & 0 & I_e \end{pmatrix}.$$

Угловое склонение $\bar{\omega} = (\bar{\omega}_1, \bar{\omega}_2)$,
 $\theta \in [0, 2\pi]$.

Кинематическое уравнение брачного движения не зависит от времени:

$$\dot{T} = \frac{1}{2} (\bar{A} \bar{\omega}, \bar{\omega}) = \frac{1}{2} I_e |\bar{\omega}|^2,$$

где I_e — момент инерции об. $\bar{\omega}$ относит. оси
 $|\bar{\omega}|(\cos \theta, \sin \theta)$.

Сравнив брачное движение с общим движением
последовательно с обоими избранными угловыми склонениями
 $\bar{\omega} \in \mathbb{R}^2$. Тогда имеем при этом $T = \frac{1}{2} + \theta \in [0, 2\pi]$.

Тогда

$$I_e |\bar{\omega}|^2 = 1 \Leftrightarrow I_x w_1^2 - 2K_{xy} w_1 w_2 + I_y w_2^2 = 1 \quad (4)$$

$I_x I_y - K_{xy} > 0$ (у сп. комм-беза).
 $\Rightarrow (4)$ — линия, соединяющая избранные
склонения $w^* = \frac{\bar{e}}{\sqrt{I_e}}$, $\bar{e} = (\cos \theta, \sin \theta)$, $\forall \theta$.

Т.к. А - цилиндр, то $\exists \bar{I}_1 \perp \bar{I}_2$ -
состб. направление. В этом базисе имеем
или бы: $I_1 w_1^2 + I_2 w_2^2 = 1$.
 I_1, I_2 - главные оси инерции ($K_{xy} = 0$).



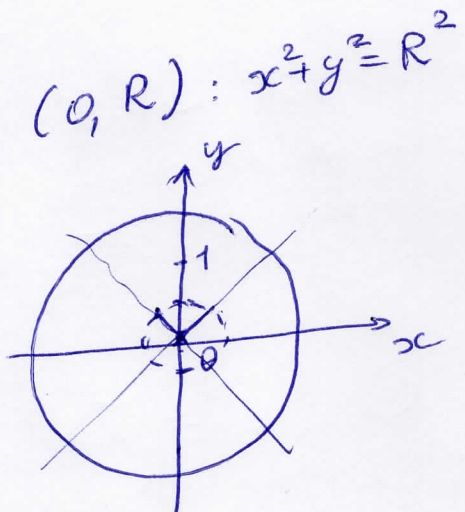
Главные оси этого цилиндра направлены оси инерции, а их длины обратно пропорциональны $\sqrt{I_i}$, $i=1, 2$.

6. Круг.

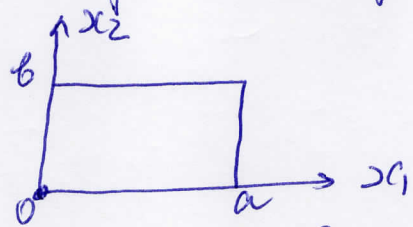
1. Деление круга $(0, R)$: $x^2 + y^2 = R^2$

$$I_{xc} = I_y = \frac{\pi}{4} R^4$$

$$w_1^2 + w_2^2 = \frac{4}{\pi R^4}$$



2. Задание неупругое пренебрежимо:



$$I_{x_2} = \frac{a^3 b}{3}, \quad I_{x_1} = \frac{a b^3}{3}, \quad K_{x_1 x_2} = \frac{a^2 b^2}{4}$$

$$A = \begin{pmatrix} \frac{a b^3}{3} & -\frac{a^2 b^2}{4} \\ -\frac{a^2 b^2}{4} & \frac{a^3 b}{3} \end{pmatrix}, \quad \det A \approx \frac{1}{9} \cdot \frac{1}{16} > 0.$$

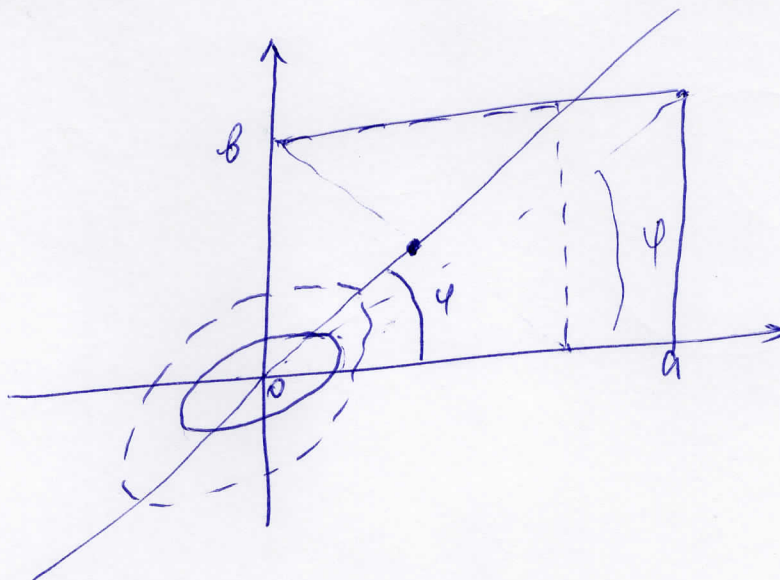
Задание неупругое с г. б. т. о.:

$$\frac{a b^3}{3} \omega_1^2 - \frac{a^2 b^2}{2} \omega_1 \omega_2 + \frac{a^3 b}{3} \omega_2^2 = 1.$$

$$\operatorname{tg} \varphi = \frac{4(a^2 - b^2) \pm \sqrt{16(b^2 - a^2) + 36a^2b^2}}{6ab}.$$

- угол огиба у
рабочих осей
неупругих эл-са.

$\operatorname{tg} \varphi = \pm 1 \Leftrightarrow a = b$. - совпадает с геометрическим центром, т.е. неупругий изгиб неизогнут.



Резюме.

Границные условия $\alpha(T)$ в $(2, 3, 5, 8)$ -ядре
содержат информацию о массе ядра, о
о ее статических моментах, о центре тяжести,
а также о распределении ядер на
плоскости через брачательные координаты -
расстояние, содержащее в конечном итоге